

文章编号: 1000-324X(2017)10-1023-06

DOI: 10.15541/jim20160689

# 低密度 $\text{Fe}_3\text{O}_4$ /中孔炭微球复合材料的可规模制备及吸波性能

刘克, 王际童, 龙东辉, 凌立成

(华东理工大学 化学工程联合国家重点实验室, 上海 200237)

**摘要:** 采用喷雾干燥法制备出中孔炭微球(MCMSs), 进一步通过液相浸渍得到磁性  $\text{Fe}_3\text{O}_4/\text{MCMSs}$  纳米复合材料, 系统研究了复合材料的形貌结构和吸波性能。结果发现,  $\text{Fe}_3\text{O}_4/\text{MCMSs}$  复合材料具有优异的流动性和低密度( $0.24\sim0.33 \text{ g/cm}^3$ )特征, 其中  $\text{Fe}_3\text{O}_4$  纳米颗粒高度分散在 MCMSs 中孔孔道内。复合材料具有较高的比表面积( $548\sim735 \text{ m}^2/\text{g}$ ), 可以促进多种介电弛豫的形成。在 2~18 GHz 范围内, 复合材料以介电损耗为主, 在 12.6 GHz 处具有最大反射率 $-25 \text{ dB}$ , 小于 $-10 \text{ dB}$  的带宽达 4.7 GHz。复合材料优异的吸波性能可以归因于均相分布的  $\text{Fe}_3\text{O}_4$  纳米颗粒和中孔炭微球的协同作用, 在增大界面弛豫和电磁波散射的同时, 改善了阻抗匹配, 减少了电磁波在吸波层表面的反射。

**关键词:** 复合材料; 中孔炭微球; 四氧化三铁; 吸波性能

中图分类号: TM25 文献标识码: A

## Scalable Preparation and Microwave Absorption of Lightweight $\text{Fe}_3\text{O}_4/\text{Mesoporous Carbon Microsphere Composites}$

LIU Ke, WANG Ji-Tong, LONG Dong-Hui, LING Li-Cheng

(State Key Laboratory of Chemical Engineering, East China University of Science and Technology, Shanghai 200237, China)

**Abstract:**  $\text{Fe}_3\text{O}_4/\text{mesoporous carbon microspheres (MCMSs)}$  composites were prepared by a facile wet-impregnation method using spray-drying produced MCMSs as carbon substrates. The structure, morphology and microwave absorbing performance were investigated. Results indicate that the composites have good fluidity and low bulk density of  $0.24\sim0.33 \text{ g/m}^3$ . The  $\text{Fe}_3\text{O}_4$  nanoparticles are homogeneously dispersed in the mesoporous channels without blocking the porosity of MCMSs. The resulting  $\text{Fe}_3\text{O}_4/\text{MCMSs}$  composites have very high BET surface areas of  $548\sim735 \text{ m}^2/\text{g}$ , which promote multiple relaxations. In the frequency range of 2~18 GHz, the microwave loss is primarily derived from dielectric loss. The composite with 40wt%  $\text{Fe}_3\text{O}_4$  exhibits a maximum reflection loss of  $-25 \text{ dB}$  at 12.6 GHz and a broad absorption band over 4.7 GHz. Such good microwave electromagnetic performances can be ascribed to the synergistic effects of highly dispersed  $\text{Fe}_3\text{O}_4$  nanoparticles and mesoporous channels, which can increase interfacial relaxation and microwave diffraction as well as reduce the reflection of microwave at the interface between air and absorber.

**Key words:** composites; mesoporous carbon microspheres; ferrites; microwave absorption properties

随着电子电气设备不断深入人们的日常生活, 电磁干扰也正在成为日益严重的社会问题。强烈的

电磁污染不仅干扰各种设备的正常运行, 而且对人类的健康也会造成一定伤害<sup>[1]</sup>。为了减少电磁污染,

收稿日期: 2016-12-19; 收到修改稿日期: 2017-02-21

基金项目: 国家自然科学基金(21576090, 51302083, 51172071)

National Science Foundation of China (21576090, 51302083, 51172071)

作者简介: 刘克(1992-), 男, 硕士研究生. E-mail: tracyabc@163.com

通讯作者: 凌立成, 教授. E-mail: lchling@ecust.edu.cn

目前最有效的办法就是开发低密度、宽频带、强吸收的吸波材料<sup>[2-3]</sup>。相对于金属材料，炭基吸波材料因其轻质、化学稳定性好、可适应恶劣环境等特点，而受到广泛关注，炭黑、碳纳米管和石墨烯等已经广泛应用于吸波研究领域<sup>[4]</sup>，但是炭材料单独用作吸波材料时，存在阻抗匹配差和吸收频带窄等缺点，因此将炭材料和磁性材料进行复合成为研究的重点<sup>[2]</sup>。如许峰等利用超声-共沉淀技术制备了 CoFe<sub>2</sub>O<sub>4</sub>/膨胀石墨复合物，当涂层厚度为 2 mm 时，最小反射损耗为-16 dB，有效带宽达 6.6 GHz<sup>[5]</sup>。孟宪光等<sup>[6]</sup>通过电沉积技术在碳纤维表面制备了四氧化三铁磁性涂层，当涂层厚度大于 1.7 mm 时，其最大损耗均低于-20 dB<sup>[6]</sup>。林海燕等<sup>[7]</sup>通过将铁、钴等金属填充在碳纳米管中，最大反射率可达到-39 dB。

中孔炭作为一种优秀的新型功能材料，体积密度小，孔结构发达、比表面积大，且介电性能优异，因此在吸波领域具有广阔的应用前景<sup>[8]</sup>。但当前各种方法制备出的中孔炭多为粉末状或不规则的块体<sup>[9]</sup>，在实际应用中容易因颗粒聚集而导致材料结构不均，从而难以展现材料全部性能。而球形材料则具有均匀的填充密度和较高的机械强度，特别是其较好的流动分散性，更提高了其应用价值<sup>[10]</sup>。但是如何调控球形中孔炭的结构和形貌，并实现其大规模制备，目前仍存在很大挑战。

为了获得“薄、轻、宽、强”的优质吸波材料，本工作以间苯二酚、甲醛和硅溶胶为前驱体溶液，采用喷雾干燥法制备出结构可控的中孔炭微球(MCMSSs)，并通过简单的浸渍方法将磁纳米四氧化三铁颗粒均匀地分散在 MCMSSs 的孔道内，得到磁性 Fe<sub>3</sub>O<sub>4</sub>/MCMSSs 复合材料。

## 1 实验方法

### 1.1 中孔炭微球的制备

将间苯二酚溶解在甲醛溶液中聚合为 RF 溶液，然后加入一定量的硅溶胶溶液，用去离子水稀释至浓度为 10% (w/v)。其中，间苯二酚和甲醛的摩尔比为 1:2，RF 和 SiO<sub>2</sub> 质量比为 1:2。将前驱体溶液置于 40℃ 水浴加热 1 h，然后通过蠕动泵送入喷雾干燥机中，在一定进风温度下干燥，通过旋风分离器分离并收集产物。得到的聚合物/硅复合微球在氮气氛围下 800℃ 炭化，经过刻蚀、洗涤、干燥后，得到中孔炭微球<sup>[11]</sup>。

### 1.2 Fe<sub>3</sub>O<sub>4</sub>/MCMSSs 复合材料的制备

以 MCMSSs 为载体，采用等体积浸渍的方法负载不同含量的 Fe<sub>3</sub>O<sub>4</sub>。首先，称取一定量的 Fe(NO<sub>3</sub>)<sub>3</sub>·9H<sub>2</sub>O

溶于去离子水中；然后，加入 1 g MCMSSs，充分搅拌 2 h 后置于 80℃ 干燥 24 h；最后在 N<sub>2</sub> 气氛下 400℃ 恒温处理 4 h，即得到相应载铁量的中孔炭微球，并命名为 x-Fe<sub>3</sub>O<sub>4</sub>-MCMSSs，x 表示复合材料中 Fe<sub>3</sub>O<sub>4</sub> 的质量分数，分别为 20% 和 40%。

### 1.3 样品表征

使用 Nava Nano SEM450 扫描电子显微镜(SEM)和 JEOL 2100F 型透射电镜(TEM)观察样品形貌。由 Rigaku D/max 2550 衍射仪采用 Cu K<sub>α</sub> 辐射测定 X 射线衍射(XRD) 图谱。采用美国 TA 公司的 SDT Q600 型热重分析仪进行热重分析(TG)，在空气气氛下，以 10°C/min 升温至 800°C。使用 Quadrasorb SI 分析仪测量样品的氮气等温吸脱附曲线，测试温度为 77 K，用 Brunauer-Emmett-Teller(BET) 法计算样品的比表面积，Barrett-Joyner-Halenda (BJH) 法计算孔容和孔径分布。采用 Lake Shore 7404 振动样品磁强计在常温下测定样品的磁滞回线。利用美国安捷伦 PNA-N5244A 矢量网络分析仪测定样品的电磁参数，样品(20 wt%)与石蜡(80 wt%)预混合，制备成内径 3.04 mm，外径 7 mm，厚度 2 mm 的同轴环，在 2~18 GHz 频率下采用同轴法进行测量。

## 2 结果与讨论

### 2.1 Fe<sub>3</sub>O<sub>4</sub>/MCMSSs 复合材料的结构形貌表征

喷雾干燥法制备中孔炭微球过程简单，能够满足规模化生产要求。实验采用平均粒径为 5.5 μm 的 MCMSSs，其比表面积为 1221 m<sup>2</sup>/g，孔容达 2.4 cm<sup>3</sup>/g，平均孔径为 8.1 nm，堆密度为 0.14 g/cm<sup>3</sup>。

进一步通过液相浸渍法得到磁性 Fe<sub>3</sub>O<sub>4</sub>/MCMSSs 复合材料。由空气氛围下的热失重曲线(图 1(a))计算得到，复合材料中四氧化三铁的实际含量分别为 20.7% 和 41.3%，与实验设计结果相当。复合材料的 XRD 图谱如图 1(b)所示，浸渍的硝酸铁盐在热处理后分解形成了具有反尖晶石结构的 Fe<sub>3</sub>O<sub>4</sub> (JSPDS 85-1436)。根据 Debye-Scherrer 公式计算可知，20%-Fe<sub>3</sub>O<sub>4</sub>-MCMSSs 和 40%-Fe<sub>3</sub>O<sub>4</sub>-MCMSSs 的晶粒尺寸分别为 8.1 和 9.8 nm。

当 Fe<sub>3</sub>O<sub>4</sub> 负载量达到 40wt% 时，微球颗粒仍呈单分散状态，流动性良好。微球表面高度光滑，未发现任何磁性粒子团聚现象(图 2(a), (d))。TEM 照片显示纳米的 Fe<sub>3</sub>O<sub>4</sub> 高度分散在 MCMSSs 中孔孔道内(图 2(b))，并以单晶形式存在，其(111)和(311)晶面的间距分别为 0.484 和 0.258 nm (图 2(c))。SEM Mapping 照片也进一步证明 Fe 元素均相分布在炭微球表面。

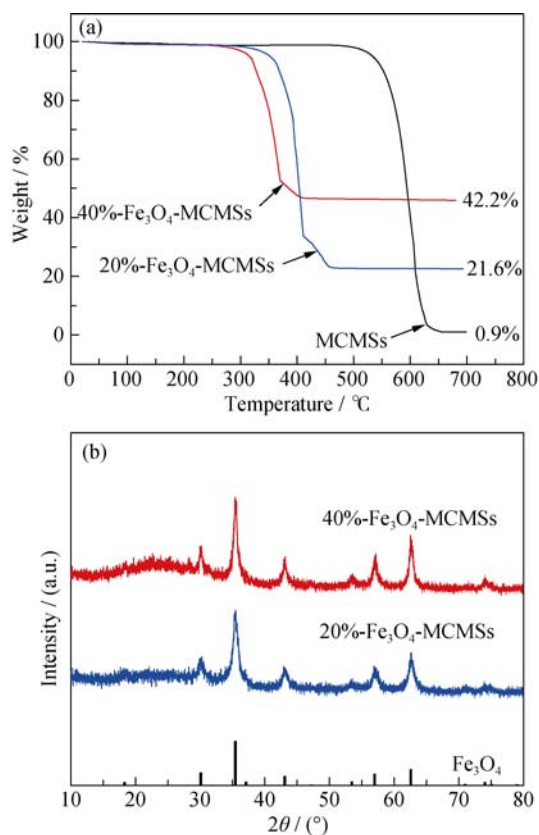


图 1  $\text{Fe}_3\text{O}_4$ /MCMSSs 复合材料的热重曲线和 XRD 图谱  
Fig. 1 (a) TG curves and (b) XRD patterns of  $\text{Fe}_3\text{O}_4$ /MCMSSs composites

采用  $\text{N}_2$  吸附对复合材料的孔结构进行了分析(图 3), 其具体孔结构参数列于表 1。复合材料继承了 MCMSSs 的 IV 型吸附等温线结构, 孔径分布未发

生明显变化。由于  $\text{Fe}_3\text{O}_4$  负载, 材料的比表面积和孔容都有所下降, 但仍维持了较大的比表面积( $548\sim735 \text{ m}^2/\text{g}$ )和高的孔体积( $1.1\sim1.8 \text{ cm}^3/\text{g}$ )。复合材料由于较小的粒径和发达的多孔结构, 其堆密度分别只有  $0.24$  和  $0.33 \text{ g}/\text{cm}^3$ , 因而用作吸波材料将具有明显的轻质特点。

## 2.2 $\text{Fe}_3\text{O}_4$ /MCMSSs 复合材料的磁滞回线

掺入  $\text{Fe}_3\text{O}_4$  会使复合材料具有了一定的磁性。一般而言, 纳米磁性材料的饱和磁化率  $M_s$  都小于其相对应的块体材料<sup>[12]</sup>。炭材料是非磁性的, 而纳米级的  $\text{Fe}_3\text{O}_4$  粒径尺寸( $8\sim10 \text{ nm}$ )远小于其单磁畴临界尺寸( $128 \text{ nm}$ )<sup>[13]</sup>。从图 4 可以看出, 负载 20wt%  $\text{Fe}_3\text{O}_4$  的复合材料  $M_s$  只有  $9.2 \text{ emu/g}$ ; 当负载量增加至 40wt% 时,  $M_s$  为  $19.1 \text{ emu/g}$ , 仍比块体  $\text{Fe}_3\text{O}_4$  的  $M_s$ ( $92 \text{ emu/g}$ )小得多<sup>[14]</sup>。但是, 纳米尺寸  $\text{Fe}_3\text{O}_4$  粒子的存在提高了复合材料的矫顽力  $H_c$ ( $46\sim75 \text{ Oe}$ )。

## 2.3 $\text{Fe}_3\text{O}_4$ /MCMSSs 复合材料的电磁性能

MCMSSs 因而具有较高的介电常数  $\epsilon$ (图 5(a), (b)); 但  $\text{Fe}_3\text{O}_4$  为半导体, 其介电性能较差。另外, 随着  $\text{Fe}_3\text{O}_4$  含量的增加, 复合材料在石蜡中所占的体积分数降低, 微球之间接触几率减小, 不利于导电网络的形成。因此, 当  $\text{Fe}_3\text{O}_4$  与 MCMSSs 复合后,  $\epsilon$  有明显降低, 在  $2\sim18 \text{ GHz}$  内, 20%- $\text{Fe}_3\text{O}_4$ -MCMSSs 的  $\epsilon'$  在  $15.6\sim6.3$  之间,  $\epsilon''$  在  $18.1\sim6.3$  之间; 40%- $\text{Fe}_3\text{O}_4$ -MCMSSs 的  $\epsilon'$  和  $\epsilon''$  分别在  $13.4\sim8.1$  和  $9.1\sim4.9$  之间。但复合材料仍然具备一定的介电损耗能力(图 5(c))。

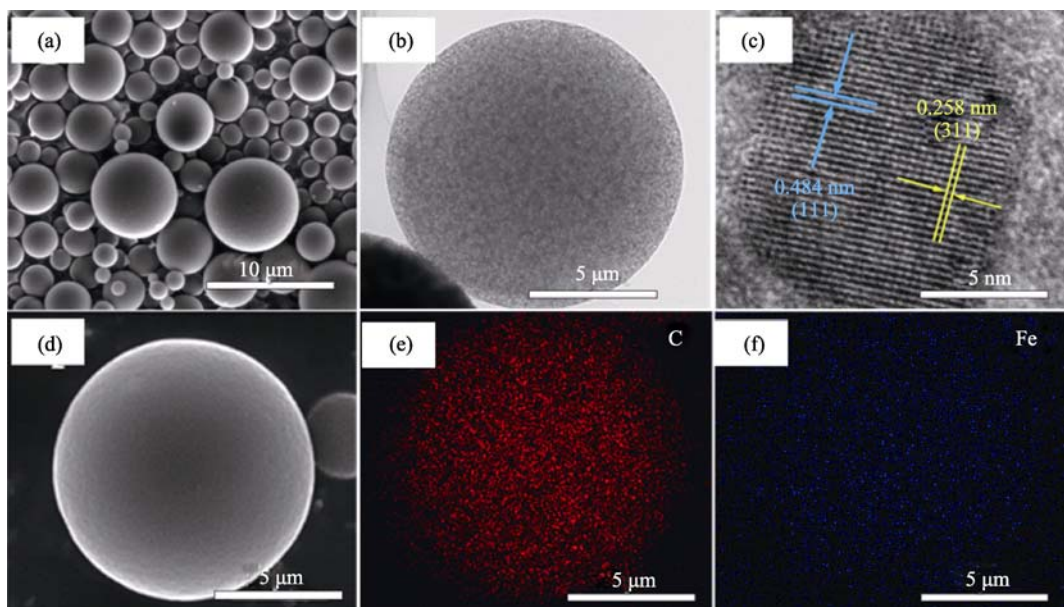


图 2 40%- $\text{Fe}_3\text{O}_4$ -MCMSSs 的 SEM, TEM 和 SEM Mapping 照片  
Fig. 2 (a) SEM, (b), (c) TEM and (e)-(f) SEM mapping images of 40%- $\text{Fe}_3\text{O}_4$ -MCMSSs

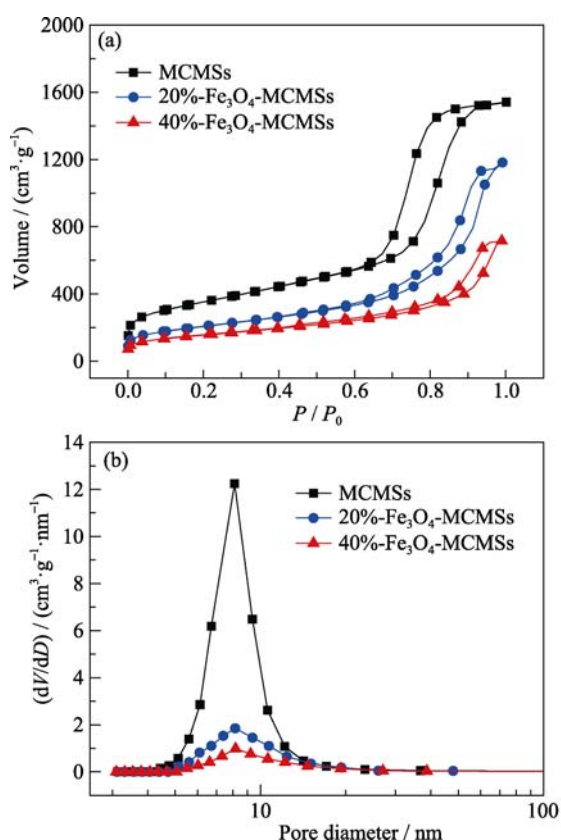


图3 MCMSSs 和 Fe<sub>3</sub>O<sub>4</sub>/MCMSSs 复合材料的氮气吸脱附等温线和孔径分布图

Fig. 3 (a) Nitrogen adsorption-desorption isotherms and (b) BJH pore size distributions of MCMSSs and Fe<sub>3</sub>O<sub>4</sub>/MCMSSs composites

表1 MCMSSs 和 Fe<sub>3</sub>O<sub>4</sub>/MCMSSs 复合材料的孔结构参数

Table 1 Structure parameters of MCMSSs and Fe<sub>3</sub>O<sub>4</sub>/MCMSSs magnetic composites

Sample	$S_{\text{BET}}^{\text{a}}/(\text{m}^2 \cdot \text{g}^{-1})$	$V_{\text{total}}^{\text{b}}/(\text{cm}^3 \cdot \text{g}^{-1})$	Pore size / nm	Tap density / (g · m <sup>-3</sup> )
MCMSSs	1221	2.4	8.1	0.18
20%-Fe <sub>3</sub> O <sub>4</sub> -MCMSSs	735	1.8	8.1	0.24
40%-Fe <sub>3</sub> O <sub>4</sub> -MCMSSs	548	1.1	8.1	0.33

<sup>a</sup>BET area, <sup>b</sup>Total pore volume

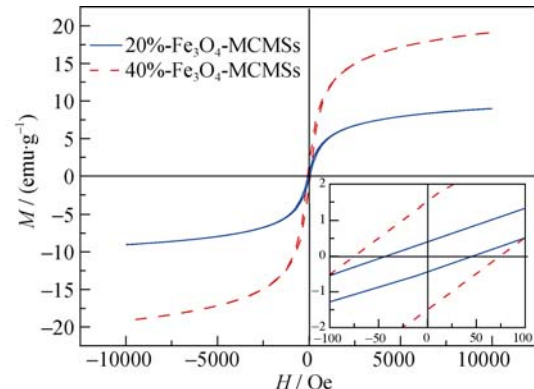


图4 Fe<sub>3</sub>O<sub>4</sub>/MCMSSs 复合材料在室温下的磁滞回线及低磁化场下的放大图

Fig. 4 Magnetic hysteresis loops at room temperature of Fe<sub>3</sub>O<sub>4</sub>/MCMSSs composites. Inset is low field hysteresis curves

一般认为, 磁化性质对材料的电磁损耗能力有很大影响。根据以下公式<sup>[15]</sup>:

$$\mu' = 1 + (M/H) \cos \sigma \quad (1)$$

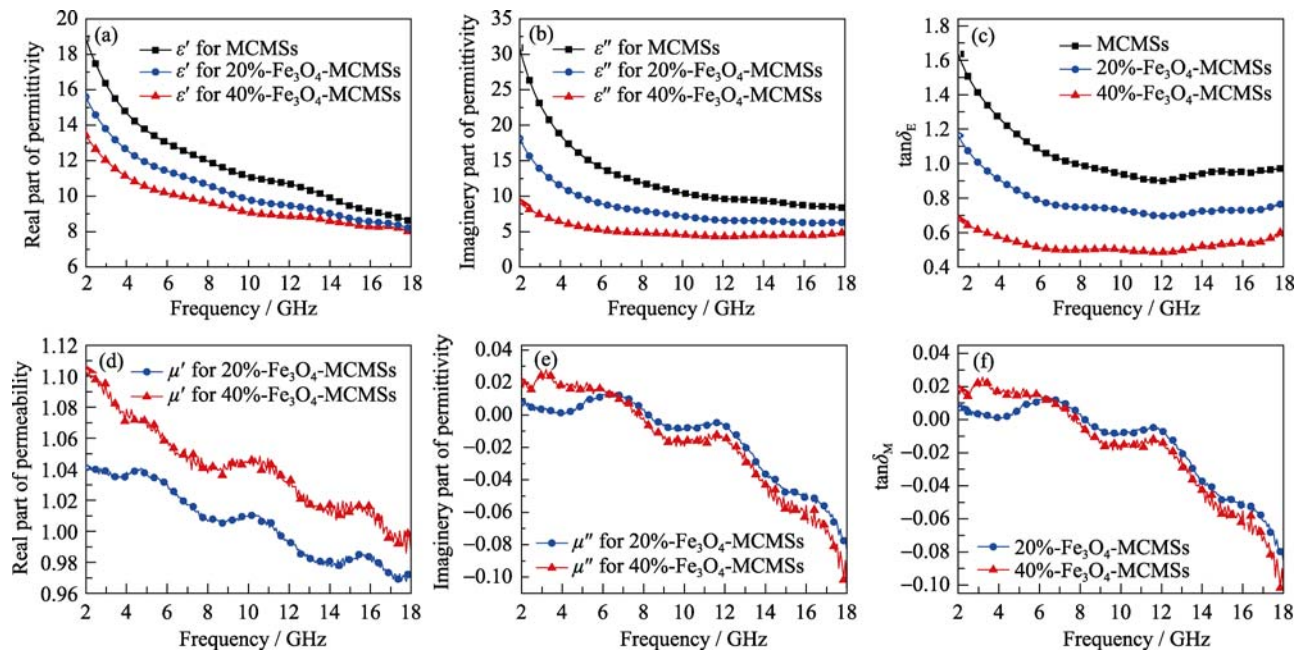


图5 MCMSSs 和 Fe<sub>3</sub>O<sub>4</sub>/MCMSSs 复合材料的复介电常数, 复磁导率及对应磁损耗因子

Fig. 5 Permittivity, permeability and loss tangent of MCMSSs and Fe<sub>3</sub>O<sub>4</sub>/MCMSSs composites

$$\mu'' = (M/H)\sin\sigma \quad (2)$$

式中  $\sigma$  代表磁化强度落后外部磁场的相位滞后角。

可以看出, 较高的磁化强度  $H$  通常伴随着较大复磁导率  $\mu$ 。纯炭材料为非磁的, 引入 Fe<sub>3</sub>O<sub>4</sub> 后, 提高了复合材料的  $M_s$ , 因而  $\mu$  有了显著改变(图 5(d) 和(e))。进一步计算其磁损耗(图 5(f)), 结果显示复合材料在 2~18 GHz 范围内出现多个波峰, 这表明材料具备了一定的磁损耗能力<sup>[16]</sup>。

对比发现, 介电损耗角的正切比磁损耗角的正切大很多, 所以 Fe<sub>3</sub>O<sub>4</sub>/MCMSSs 是一种以介电损耗为主的材料。一般来说, 介电损耗来自于各种极化所导致的介电弛豫, 包括原子、电子、离子的极化, 界面极化和偶极子极化<sup>[17]</sup>。在 GHz 范围内原子、电子、离子的极化作用可以忽略。对 Fe<sub>3</sub>O<sub>4</sub>/MCMSSs 复合材料来说, 其较大的比表面积, 材料内部存在着大量的界面, 如 Fe<sub>3</sub>O<sub>4</sub> 和 C 之间的界面, C 和石蜡之间的界面等, 这些不同界面的极化会造成多种介电弛豫。另外, 在交变磁场中, 由于铁磁性的纳米颗粒的存在, 一部分入射电磁波会转变成感应微电流<sup>[18]</sup>, 而由于材料内部导电网络中欧姆电阻的存在, 微电流会以热量形式损耗。

根据电磁波理论, 良好的吸波材料需具备良好的损耗能力和良好的阻抗匹配, 即电磁波能最大限度进入材料内部, 而减少界面上的反射, 这就要求材料在较宽的频率范围内满足  $\epsilon \approx \mu$ <sup>[2]</sup>。由此可见, 掺入磁性 Fe<sub>3</sub>O<sub>4</sub> 降低了介电常数, 提高了磁导率, 使阻抗匹配得到明显的改善。

#### 2.4 Fe<sub>3</sub>O<sub>4</sub>/MCMSSs 复合材料的电磁性能

根据单层吸波的传输线理论, 可以通过特定频率下  $\epsilon$  和  $\mu$  及吸波层厚度  $d$  计算反射损耗( $RL$ )<sup>[16]</sup>。磁性材料的矫顽力  $H_c$  是决定反射峰位置的关键因素, 根据式(3~5)<sup>[19]</sup>,  $H_c$  与  $f_r$  成正比, 对于块体材料,  $H_c$  很小, 所以  $f_r$  一般只有几百赫兹, 而根据式(6)<sup>[19]</sup>, 较小的  $f_r$  不利于减小涂层的厚度。而 Fe<sub>3</sub>O<sub>4</sub>/MCMSSs 复合材料的  $H_c$  可达到 75Oe, 因而使得厚度为 2 mm 的样品具有最大反射率, 这符合实际应用中对于涂覆型吸波材料涂层厚度的要求。同时式(6)也解释了随着涂层厚度的增加, 材料的反射损耗峰逐渐向低频移动的原因。

$$K = \mu_0 M_s H_c / 2 \quad (3)$$

$$H_a = 4|K| / 3\mu_0 M_s \quad (4)$$

$$2\pi f_r = r H_a \quad (5)$$

$$t_m = nc / 4f_m (\epsilon_r \mu_r)^{1/2} \quad (6)$$

式中  $\mu_0$  为真空磁导率,  $H_a$  为磁各向异性,  $r$  为旋磁

比。 $t_m$  和  $f_m$  为  $RL_{min}$  时的厚度和频率,  $c$  为光速。

从图 6 可以看出, 40%-Fe<sub>3</sub>O<sub>4</sub>-MCMSSs 在 12.6 GHz 处最小反射率为 -25 dB, 小于 -10 dB 的带宽为 4.7 GHz (10.8~15.5 GHz), 该吸波性能优于大多数纳米复合材料, 如三元的 Fe<sub>3</sub>O<sub>4</sub>@聚苯胺基聚合物、多孔 Fe<sub>3</sub>O<sub>4</sub>-Fe-SiO<sub>2</sub> 纳米棒、有序中孔炭 CMK-3/ PMMA 复合材料<sup>[20~22]</sup>。Fe<sub>3</sub>O<sub>4</sub>/MCMSSs 复合材料具有优异的吸波性能可以归因于: 纳米的磁粒子分布在炭微球的孔道内, 增大了界面弛豫和电磁波的散射, 进而提高了电磁波的损耗能力; 同时阻抗匹配也得到改善, 减少了电磁波在吸波层表面的反射。

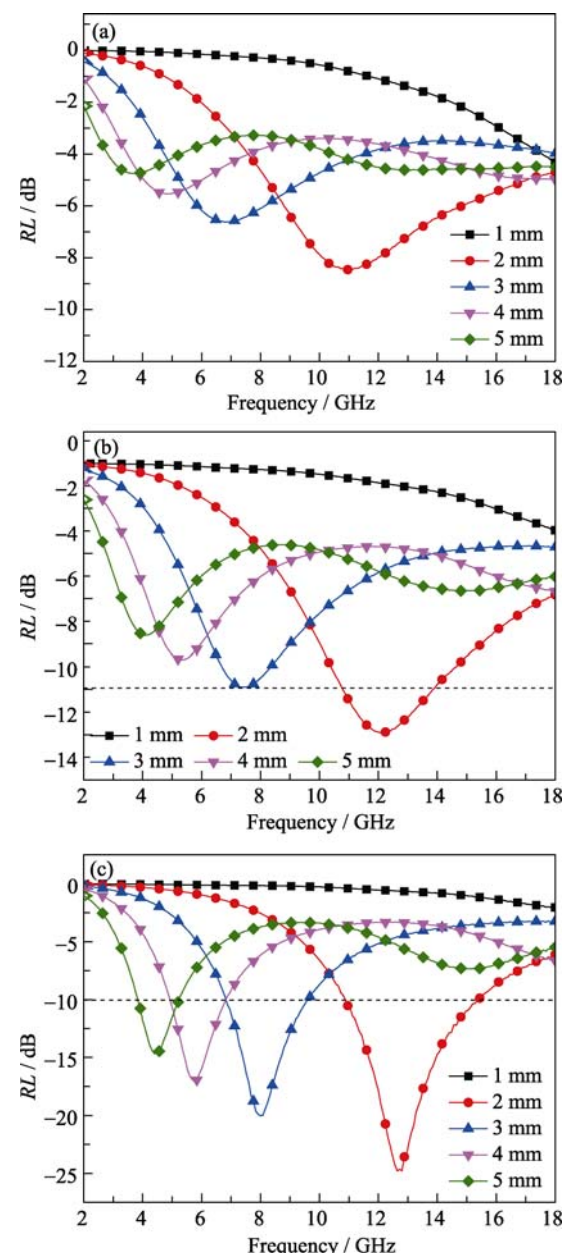


图 6 MCMSSs 和 Fe<sub>3</sub>O<sub>4</sub>/MCMSSs 复合材料的反射率曲线

Fig.6 RL curves of (a) MCMSSs, (b) 20%-Fe<sub>3</sub>O<sub>4</sub>-MCMSSs and (c) 40%-Fe<sub>3</sub>O<sub>4</sub>-MCMSSs at different thickness (1-5 nm)

### 3 结论

- 1) 以喷雾干燥法制备了中孔炭微球，并进一步通过简单的湿法浸渍制备出  $\text{Fe}_3\text{O}_4/\text{MCMSS}$  复合材料。
- 2)  $\text{Fe}_3\text{O}_4/\text{MCMSS}$  复合材料将纳米级的四氧化三铁颗粒均匀分布在 MCMSS 的孔道内，涂层厚度 2 mm 时，在 12.6 GHz 处具有最大反射率 -25 dB，小于 -10 dB 的带宽达到 4.7 GHz。
- 3) MCMSS 本身具有较大的介电损耗，掺入磁性组分增加了磁损耗，同时显著改善阻抗匹配，从而使复合材料表现出优异的吸波性能。

### 参考文献：

- [1] ZHOU H, WANG J, ZHUANG J, et al. Synthesis and electromagnetic interference shielding effectiveness of ordered mesoporous carbon filled poly (methylmethacrylate) composite films. *RSC Advances*, 2013, **3(45)**: 23715–23721.
- [2] LI B P, WANG C G, WANG W, et al. Progress of electromagnetic wave absorbing materials based on carbon. *Materials Review*, 2012, **26(7)**: 9–14.
- [3] DENG L J, HAN M G. Microwave absorbing performances of multiwalled carbon nanotube composites with negative permeability. *Applied Physics Letters*, 2007, **91(2)**: 023119.
- [4] LUO F, ZHOU W C, JIAO H, et al. Current study of high temperature radar absorbing materials. *Aerospace Materials & Technology*, 2002, **32(1)**: 8–11.
- [5] XU F, XIANG C, LI L C, et al. Preparation and electromagnetic properties of  $\text{CoFe}_2\text{O}_4$  and its composites with expanded graphite. *Chemical Journal of Chinese Universities*, 2013, **34(10)**: 2254–2261.
- [6] MENG X G, LUO H L, LI Q Y, et al. The application of carbon fibers with magnetic coatings as microwave absorption materials. *Safety & EMC*, 2011, **(6)**: 67–69.
- [7] LIN H Y, ZHU H, GUO H, et al. Microwave-absorbing properties of Co-filled carbon nanotubes. *Materials Research Bulletin*, 2008, **43(10)**: 2697–2702.
- [8] XIN W, SONG Y H. Mesoporous carbons: recent advances in synthesis and typical applications. *RSC Advances*, 2015, **5(101)**: 83239–83285.
- [9] JARONIEC M, GORKA J, CHOMA J, et al. Synthesis and properties of mesoporous carbons with high loadings of inorganic species. *Carbon*, 2009, **47(13)**: 3034–3040.
- [10] ROBERTS A D, LI X, ZHANG H. Porous carbon spheres and monoliths: morphology control, pore size tuning and their applications as Li-ion battery anode materials. *Chemical Society Reviews*, 2014, **43(13)**: 4341–4356.
- [11] LI X, ZHOU J, QIAO W, et al. Large-scale synthesis of mesoporous carbon microspheres with controllable structure and nitrogen doping using a spray drying method. *RSC Advances*, 2014, **4(107)**: 62662–62665.
- [12] MCHENRY M E, LAUGHLIN D E. Nano-scale materials development for future magnetic applications. *Acta Materialia*, 2000, **48(1)**: 223–238.
- [13] WU L, MENDOZA-GARCIA A, LI Q, et al. Organic phase syntheses of magnetic nanoparticles and their applications. *Chemical Reviews*, 2016, **116(18)**: 10473–10512.
- [14] SUN G, DONG B, CAO M, et al. Hierarchical dendrite-like magnetic materials of  $\text{Fe}_3\text{O}_4$ ,  $\gamma\text{-Fe}_2\text{O}_3$ , and Fe with high performance of microwave absorption. *Chemistry of Materials*, 2011, **23(6)**: 1587–1593.
- [15] LU B, HUANG H, DONG X L, et al. Influence of alloy components on electromagnetic characteristics of core/shell-type Fe–Ni nanoparticles. *Journal of Applied Physics*, 2008, **104(11)**: 114313.
- [16] GUO Y J, ZHANG L, HOU J Q, et al. Preparation and wave-absorbing performance of PANI/ $\text{Fe}_3\text{O}_4/\text{CB}$  hollow structured composites. *Chemical Journal of Chinese Universities*, 2016, **37(6)**: 1202–1207.
- [17] DUAN Y, LIU Z, JING H, et al. Novel microwave dielectric response of Ni/Co-doped manganese dioxides and their microwave absorbing properties. *Journal of Materials Chemistry*, 2012, **22(35)**: 18291–18299.
- [18] LV H, JI G, LIANG X H, et al. A novel rod-like  $\text{MnO}_2@\text{Fe}$  loading on graphene giving excellent electromagnetic absorption properties. *Journal of Materials Chemistry C*, 2015, **3(19)**: 5056–5064.
- [19] LV H, LIANG X, CHENG Y, et al. Coin-like  $\alpha\text{-Fe}_2\text{O}_3@\text{CoFe}_2\text{O}_4$  core–shell composites with excellent electromagnetic absorption performance. *ACS Applied Materials & Interfaces*, 2015, **7(8)**: 4744–4750.
- [20] WEI W, YUE X G, ZHOU Y, et al. Novel ternary  $\text{Fe}_3\text{O}_4@\text{polyani-line/polyazomethine/polyetheretherketone}$  crosslinked hybrid membranes: fabrication, thermal properties and electromagnetic behaviors. *RSC Advances*, 2014, **4(22)**: 11159–11167.
- [21] CHEN Y J, GAO P, ZHU C L, et al. Synthesis, magnetic and electromagnetic wave absorption properties of porous  $\text{Fe}_3\text{O}_4/\text{Fe/SiO}_2$  core/shell nanorods. *Journal of Applied Physics*, 2009, **106(5)**: 054303.
- [22] ZHOU H, WANG J, ZHUANG J, et al. A covalent route for efficient surface modification of ordered mesoporous carbon as high performance microwave absorbers. *Nanoscale*, 2013, **5(24)**: 12502–12511.